# NOTE DE CALCUL

**Projet: Tour Son Magnum** 

Note de calculs référence :01311-NC1/A

du: 06/06/12, indice A du 20/05/16

### **B.E:**



Tél: 03.24.55.60.05

Fax: 03.24.55.60.06

Mail: alusd@wanadoo.fr

## **POUR:**

**Client: Magnum** 

**Auteur: S.Chrisment** 

Autodesk Robot Structural Analysis Professional Auteur: **CEDIA/S.C** Adresse: 08090 TOURNES

Calculs: CEDIA, 08090 TOURNES Fichier : **01311-NC1/A** Projet : Tour son Magnum

Vue d'ensemble	4
Hypothèses de calculs	5
Propriétés des profilés	6
Caractéristiques - Barres	7
Caractéristiques - Matériaux	7
Nœuds	7
Barres	7
Résumé des cas de charges possibles :	8
Résultante du vent sur le linéaire de tour SC500	9
Cas A1+C2	10
Pondérations	10
Résultantes du vent	11
Cas A1- 9V-DOSC	11
Cas C2- 9DV-DOSC+3DV-SUB	12
Charges Résultantes	14
Définitions des pondérations - Cas: 69 [AL 76 Avril 2000] [AL 76 Avril 2000]: 1	14
Combinaisons de cas	14
Fleche ELS - Déformée exacte; Cas : 9A11	15
Sigma ELU - S max;S min; Cas : 6A8	16
Réactions globales aux ELU - Forces de réaction(daN); Moments de réaction(daN*m); Cas : 6A8	17
Résumé des Réactions extrêmes dans le Repère global - Format DDC - Cas: 7 8 12A14: 1 aux ELU	18
Contrôle de la stabilité de l'embase	18
Dimensionnement des pattes de stabilisation	19
Etude isolée d'une patte de stabilisation :	20
Cas E2	23
Pondérations	23
Résultantes du vent	24
Charges résultantes	25
Définitions des pondérations - Cas: 6 9 [ AL 76 Avril 2000 ] [ AL 76 Avril 2000 ]: 1	25
Combinaisons de cas	25
Fleche ELS - Déformée exacte; Cas : 9A11	26
Sigma ELU - S max;S min; Cas : 6A8	27

Autodesk Robot Structural Analysis Professional Auteur: **CEDIA/S.C** 

Adresse: 08090 TOURNES

Calculs: CEDIA, 08090 TOURNES

Fichier : **01311-NC1/A** Projet : Tour son Magnum

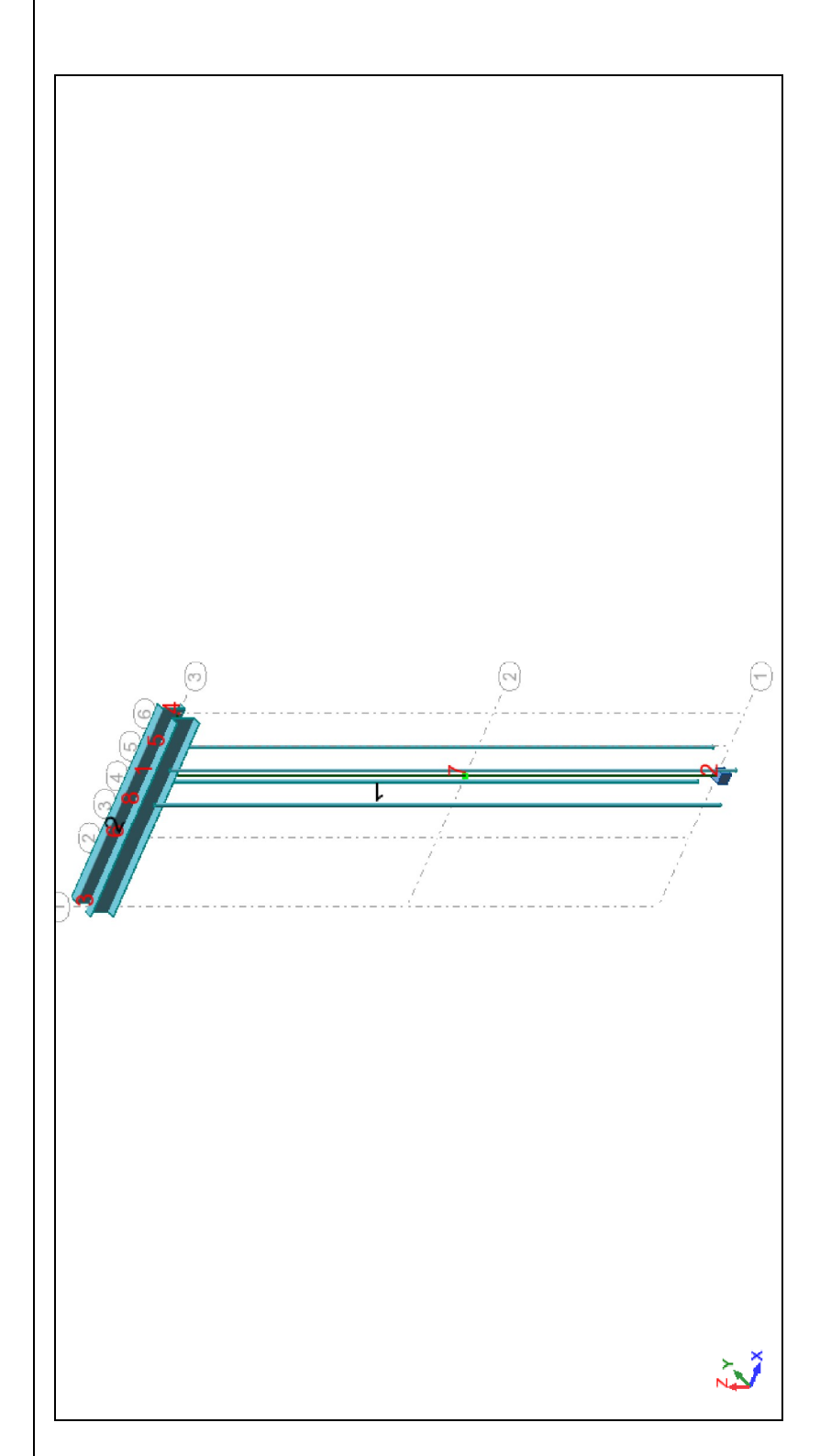
Réactions aux ELU - Forces de réaction(daN);Moments de	réaction(daN*m); Cas : 6A8	28
Résumé des Réactions extrêmes dans le Repère global - Fo	ormat DDC - Cas: 7 8 12A14: 1	29
Contrôle de la stabilité de l'embase		29
Contrôle du dimensionnement de l'axe des poulies		31
Conclusion :		35
Annexe 1- plan d'ensemble		36
Date : 06/06/12 Page 1	ge : <b>3</b>	

Autodesk Robot Structural Analysis Professional Auteur : **CEDIA/S.C** Adresse : 08090 TOURNES

Calculs: CEDIA, 08090 TOURNES

Fichier : 01311-NC1/A
Projet : Tour son Magnum

### Vue d'ensemble



Auteur: **CEDIA/S.C** Adresse: 08090 TOURNES Fichier: 01311-NC1/A Projet: Tour son Magnum

### Hypothèses de calculs

- 1) Tour de son suivant plan d'ensemble ref :01311-0E1 repris dans le document en Annexe 1
- 2) Ensemble monté sur une embase béton de 2x2m ep 0.14m d'un poids mini de 1350daN
- 3) Calcul et dimensionnement des chevilles de fixation de l'embase acier sur embase béton à la charge du client
- 4) Calcul de résistance intrinsèque de la partie béton exclue de la note
- 5) Tour monté de niveau avec possibilité d'un vent maxi de 72km/h
- 6) Structure de pont en SC500 ALU en 3 modules de lg.2.8m suivant spec ASD, poids propre=18.6kg/ml, ly=lz=17536cm4, My maxi de 7470daN.m aux ELU
- 7) Tête de tour mécanosoudée à deux tôles pliées symétriques pleines ep.12 suivant plan 01311-207, inertie résultante suivant §propriétés des profilés d'un poids de 180daN.
- 8) Installation de 2 pattes d'extension permettant de contrer le maitre coupe du vent arrière sur les clusters son
- 9) La partie basse des clusters sera arrimée au linéaire de tour à une hauteur de 4m/sol
- 10) Cas de charges multiples repris dans le chapitre « Résumé des cas de charges possibles »
- 11) Le soulèvement de la charge se fera par l'intermédaire de 2 palans à chaines d'une CMU de 1T max./u permettant respectivement de lever la charge avant et arrière du bumper d'accroche.
- 12) Nous étudierons le comportement de la tour dans sa sollicitation la plus défavorable c'est-à-dire charges de cluster assurées sur la tête de tour avec chaines des palans relachées.

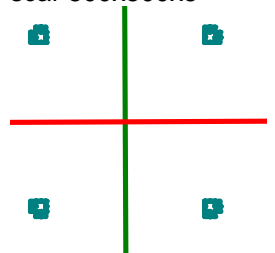
Auteur: **CEDIA/S.C** Adresse: 08090 TOURNES Calculs: CEDIA, 08090 TOURNES

Fichier : **01311-NC1/A**Projet : Tour son Magnum

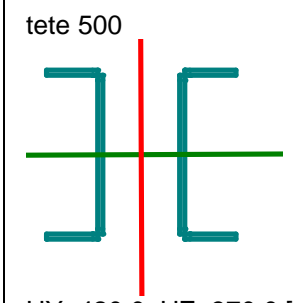
### Propriétés des profilés

### Caractéristiques de la section:

scar 500x500x5



HY=547.0, HZ=547.0 [mm] AX=28.131 [cm2] IX=5826.000, IY=17443.249, IZ=17443.249 [cm4] Matériau=6060-T6



HY=420.0, HZ=370.0 [mm] AX=138.749 [cm2] IX=40.684, IY=26120.493, IZ=21150.485 [cm4] Matériau=5754-H111

Auteur: **CEDIA/S.C** Adresse: 08090 TOURNES Calculs: CEDIA, 08090 TOURNES

Fichier : **01311-NC1/A**Projet : Tour son Magnum

# **Caractéristiques - Barres**

Nom de la section	Liste des barres	AX [cm2]	AY [cm2]	AZ [cm2]	IX [cm4]	IY [cm4]	IZ [cm4]
scar 500x500x5	1	28.131	0.0	0.0	5826.000	17443.249	17443.249
tete 500	2	138.749	0.0	0.0	40.684	26120.493	21150.485

# Caractéristiques - Matériaux

	Matériau	E [daN/mm2]	G [daN/mm2]	NU	LX [1/°C]	RO [daN/m3]	Re [daN/mm2]
1	6060-T6	7950.00	2780.00	0.34	0.00	2700.00	21.50
2	5754-H1- 11	7000.00	2780.00	0.34	0.00	2700.00	10.00

### **Nœuds**

Noeud	X [m]	Y [m]	Z [m]	Code de l'appui	Appui
1	0.0	0.0	9.000		
2	0.0	0.0	0.0	bbbbbb	Encastrement
3	-1.900	0.0	9.000		
4	0.900	0.0	9.000		
5	0.430	0.0	9.000		
6	-0.900	0.0	9.000		
7	0.0	0.0	4.000		
8	-0.400	0.0	9.000		

### **Barres**

Barre	Noeud 1	Noeud 2	Section	Matériau	Longueur [m]	Gamma [Deg]	Type de barre	Élément de construction
1	1	2	scar 500- x500x5	6060-T6	9.000	90.0	Barre 1/300	Barre
2	3	4	tete 500	5754-H111	2.800	-0.0	Barre 1/300	Barre

Auteur: CEDIA/S.C Fichier: 01311-NC1/A Adresse: 08090 TOURNES Projet: Tour son Magnum

#### Résumé des cas de charges possibles : profondeur hors tout 0.4 pumper entraxe Ε 732 783 522 384 156.00 poids total théorique hors bumper 38% 39% 38% 38% 38% 12% 12% 42% 42% coté public 46.00 298 199 146 67 46 132 282 effort suspensions kg 62% 61% 62% 62% 62% 88% 88 58% 58% coté tour 91.00 450 485 323 238 332 180 2.81 1.87 1.90 1.93 2.19 surface coté m2 face 88888 1.3 0.876 0.695 0.695 0.73 0.73 poids unitaire E 0.56 0.31 0.16 0.49 0.18 surface coté surface face m2 1.60 1.15 2.21 1.47 2.21 1.47 1.23 surface coté m2 coté 0.25 0.25 0.10 0.49 0.10 0.449 0.574 0.383 0.565 0.383 0.689 Ξ 0.565 0.689 0.449 0.695 0.383 3.9 3.2 2.7 3.0 I Ξ ᡅ ٤ 0.434 0.356 0.228 0.708 0.25 m: TΕ 1.3 0.876 0.695 0.695 0.73 nb cluster 6DV-DOSC+2DV-SUB 12DV-DOSC l-acoustic 6V-DOSC 12 KARA 6 KARA l-acoustic l-acoustic 9 KUDO 6 KUDO mardne Config V-DOSC KUDO DV-DOSC DV-SUB Ref Cluster

Au vu du résumé ci-dessus, nous ramènerons notre étude aux 2 cas de charges extrêmes suivants

Cas maxi: A1+C2 reprenant les résultantes les plus défavorables des 2 cas : C2 pour le vent de coté, A1 pour le vent de face et les charges de soulèvements

Cas mini : <mark>E2</mark>

Date: 06/06/12

KARA

N°cas

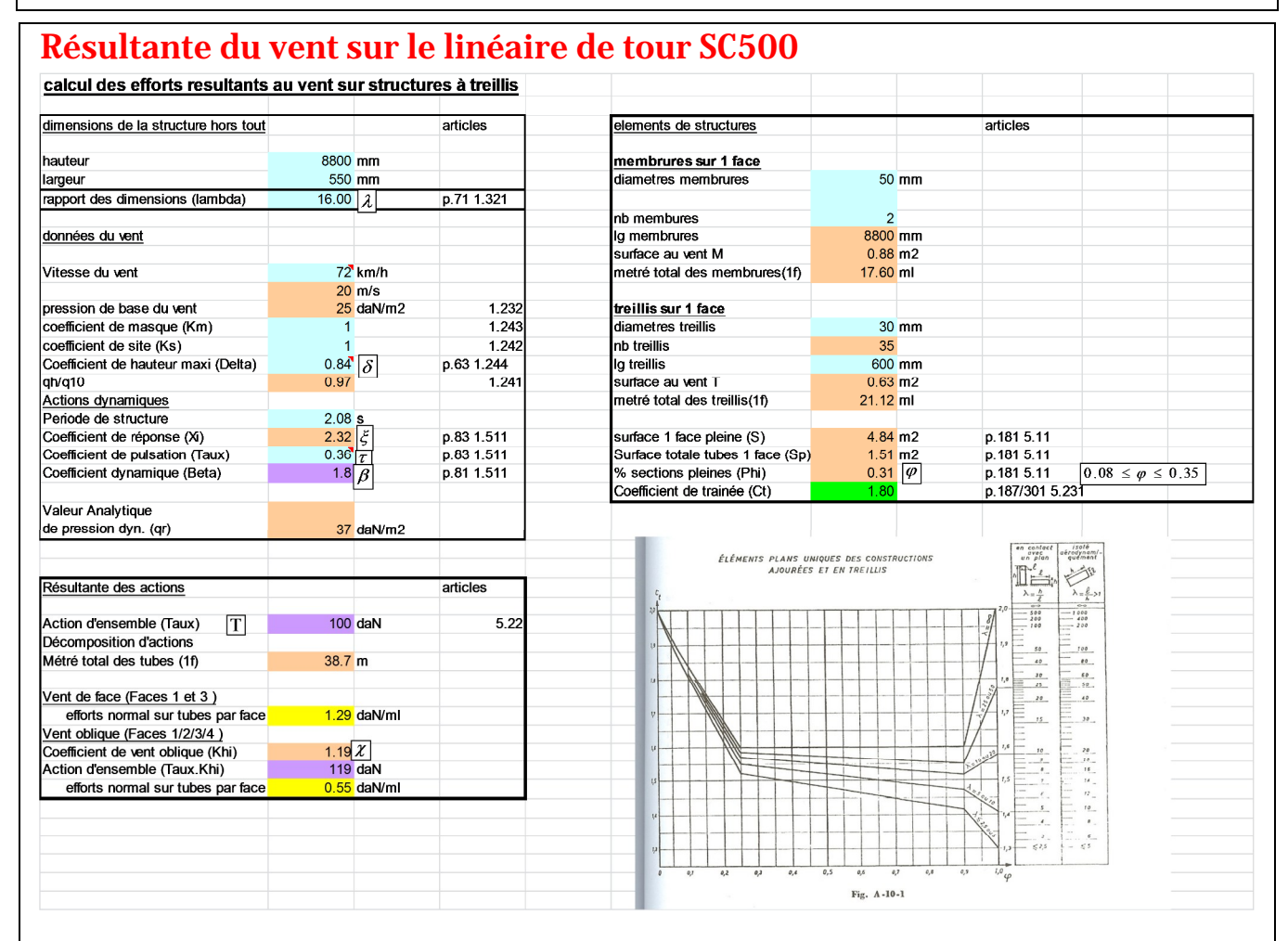
B1 B2

<u>გ</u>

Page : 8

Auteur: CEDIA/S.C Adresse: 08090 TOURNES Calculs: CEDIA, 08090 TOURNES

Fichier : **01311-NC1/A**Projet : Tour son Magnum



Pour un linéaire de 9m, nous adopterons pour la suite des calculs la valeur de 100daN/9ml=11.1daN/ml dirigé suivant la direction du vent étudiée.

Auteur : CEDIA/S.C Fichier : 01311-NC1/A
Adresse : 08090 TOURNES Projet : Tour son Magnum

### **Cas A1+C2**

### **Pondérations**

# Pondérations suivant le règlement : AL 76 Avril 2000

### Paramètres de la création des pondérations

Type de pondérations : complètes

### Liste de cas actifs :

1: pp	permanente	G1
2: cluster_a1	permanente	G1
3: vent_cote_c2	vent	W1
4: vent_arriere_a1	vent	W1
5: vent_face_a1	vent	W1

### Liste de modèles de combinaison :

EFF normale (1 charge variable)
EFF normale (2 charges variables)
EFF normale (3 charges variables)

DEP Déplacement

### Liste de groupes définis :

permanente: G1 et, vent: W1 ou excl.,

### Liste de relations définies :

permanente: G1 d'exploitation: Q1 vent: W1

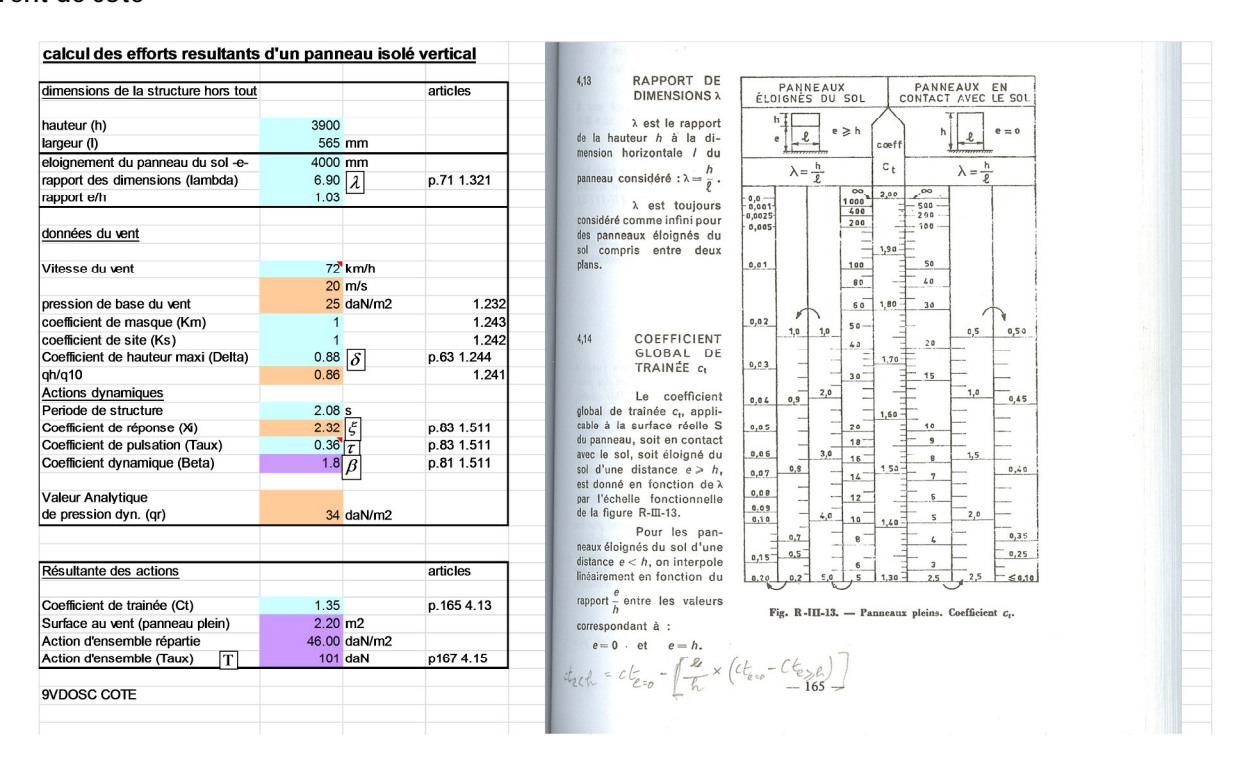
Auteur : **CEDIA/S.C** Adresse : 08090 TOURNES Calculs: CEDIA, 08090 TOURNES

Fichier : **01311-NC1/A**Projet : Tour son Magnum

### Résultantes du vent

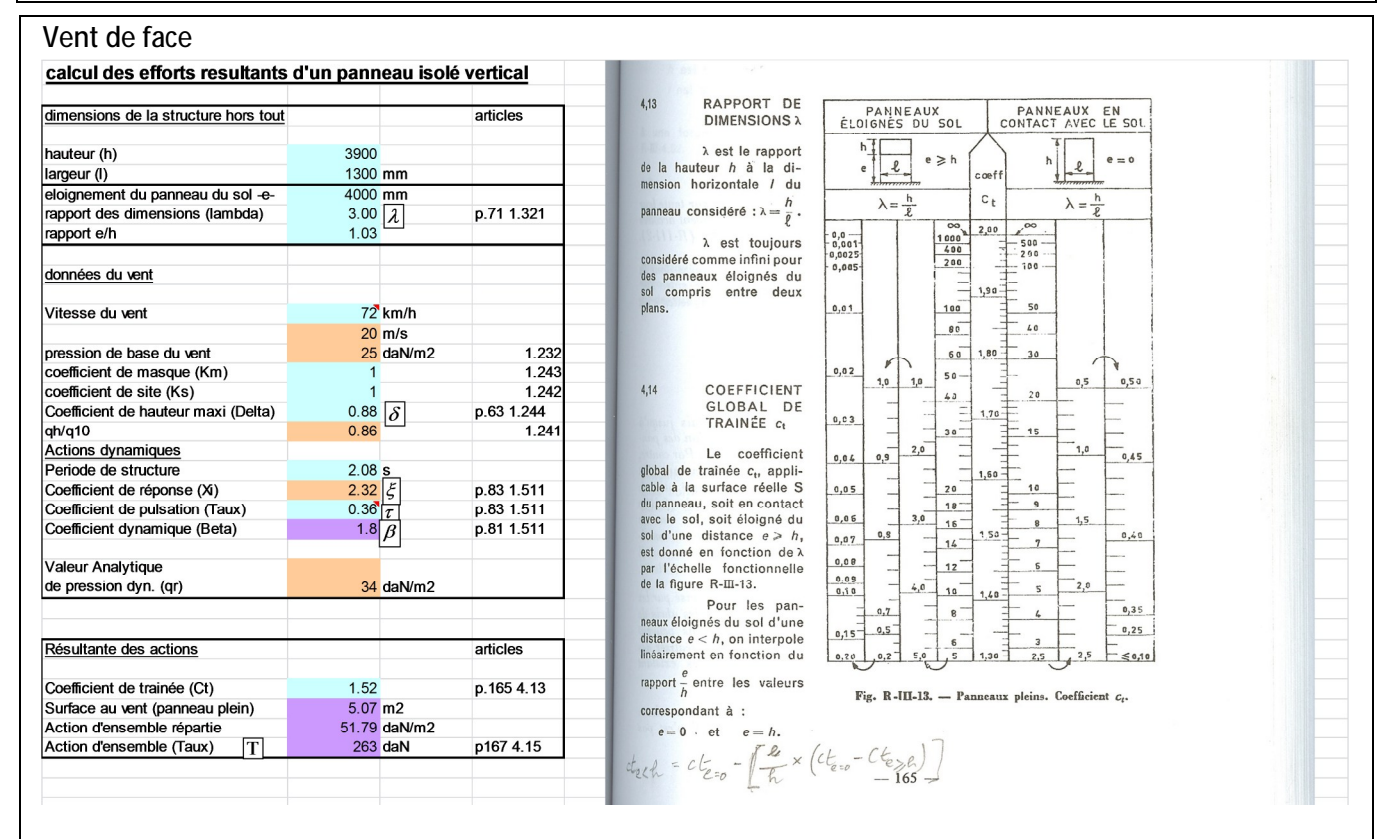
### Cas A1-9V-DOSC

### Vent de coté



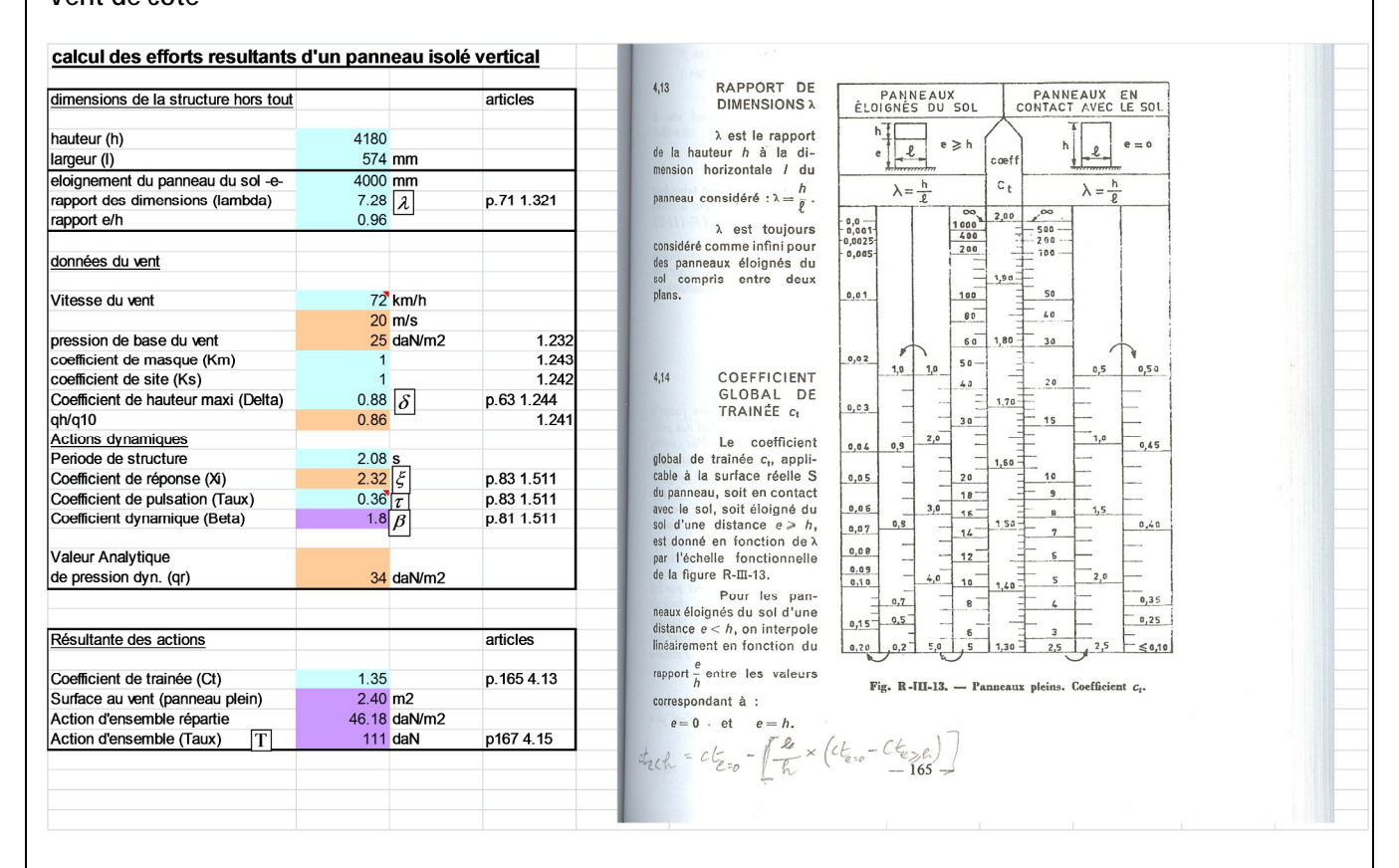
Auteur: CEDIA/S.C Adresse: 08090 TOURNES Calculs: CEDIA, 08090 TOURNES

Fichier : **01311-NC1/A**Projet : Tour son Magnum



### Cas C2-9DV-DOSC+3DV-SUB

### Vent de coté



Auteur: CEDIA/S.C Adresse: 08090 TOURNES Calculs: CEDIA, 08090 TOURNES

Fichier : **01311-NC1/A**Projet : Tour son Magnum

#### Vent de Face calcul des efforts resultants d'un panneau isolé vertical RAPPORT DE DIMENSIONS À 4,13 PANNEAUX ÉLOIGNÉS DU SOL PANNEAUX EN CONTACT AVEC LE SOL dimensions de la structure hors tout $\lambda$ est le rapport de la hauteur h à la dimension horizontale I du hauteur (h) 4180 1 largeur (I) 695 mm eloignement du panneau du sol -e 4000 mm ct $\lambda = \frac{h}{\ell}$ $\lambda = \frac{h}{\rho}$ panneau considéré ; $\lambda = \frac{h}{\ell}$ . 6.01 A rapport des dimensions (lambda) p.71 1.321 2,00 00 500 -200 100 rapport e/h λ est toujours considéré comme infini pour des panneaux éloignés du sol compris entre deux 1000 400 200 données du vent 1,90 50 0,01 100 72 km/h Vitesse du vent 40 80 pression de base du vent coefficient de masque (Km) 25 daN/m2 1 232 60 1,80 30 50-1,0 1,0 0,5 0,50 COEFFICIENT coefficient de site (Ks) 1.242 4,14 40 20 GLOBAL DE TRAINÉE ct 1.70 p.63 1.244 Coefficient de hauteur maxi (Delta) 0.88 8 0,03 qh/q10 30-Le coefficient global de trainée $c_{t_1}$ applicable à la surface réelle S Actions dynamiques Periode de structure 2,0 0,9 0,45 0,04 1,50 2.08 s 2.32 $\xi$ 0.36 $\tau$ 1.8 $\beta$ Coefficient de réponse (Xi) p.83 1.511 0,05 20 cable a la surface reelle S du panneau, soit en contact avec le sol, soit éloigné du sol d'une distance e > h, est donné en fonction de $\lambda$ par l'échelle fonctionnelle de la figure R-III-13. p.83 1.511 Coefficient de pulsation (Taux) 0,06 3,0 Coefficient dynamique (Beta) p.81 1.511 16 8 0,8 1,50 0,07 14 - 7 0,08 12 Valeur Analytique . 6 - 5 de pression dyn. (qr) 34 daN/m2 1,40 Pour les pan-0,35 8 4 neaux éloignés du sol d'une 0,15 0,5 0,25 distance e < h, on interpole linéairement en fonction du 0,15 0,25 0,25 0,25 0,10 Résultante des actions rapport $\frac{e}{h}$ entre les valeurs 1.32 Coefficient de trainée (Ct) p.165 4.13 Fig. R-III-13. — Panneaux pleins. Coefficient ct. Surface au vent (panneau plein) 2.91 m2 correspondant à : 45 15 daN/m2 e=0 et e=h. $t_{2}(h=ct_{2}) - \int_{h}^{\infty} \left(ct_{2} - ct_{2}h\right) - \frac{1}{165}$ Action d'ensemble répartie Action d'ensemble (Taux) 131 daN p167 4.15

Auteur: **CEDIA/S.C** Adresse: 08090 TOURNES Calculs: CEDIA, 08090 TOURNES

Fichier : **01311-NC1/A**Projet : Tour son Magnum

# **Charges Résultantes**

Cas	Préfixe	Type de charge	Liste	Valeurs de la charge	Remarques utilisateur
1	pp	poids propre	1	PZ Moins Coef=2.40	sc500 18.6kg/ml
1	рр	force nodale	2	FZ=-1565.00[daN]	embase beton
1	рр	force nodale	8	FZ=-180.00[daN]	pp_tete de tour
2	cluster_9vdosc	force nodale	6	FZ=-360.00[daN]	9V-DOSC
2	cluster_9vdosc	force nodale	3	FZ=-680.00[daN]	9V-DOSC
3	vent_cote_9vdosc	force nodale	3 7	FY=55.00[daN]	9DV-DSOC+3SUB
3	vent_cote_9vdosc	charge uniforme	1	PY=11.10[daN/m]	vent sur tour
4	vent_arriere_9vdosc	force nodale	3 7	FX=-131.00[daN]	9V-DOSC
4	vent_arriere_9vdosc	charge uniforme	1	PX=-11.10[daN/m]	vent sur tour
5	vent_face_9vdosc	force nodale	3 7	FX=131.00[daN]	9V-DOSC
5	vent_face_9vdosc	charge uniforme	1	PX=11.10[daN/m]	vent sur tour

# Définitions des pondérations - Cas: 6 9 [AL 76 Avril 2000] [AL 76 Avril 2000]: 1

Combinaison/Comp.	Définition
EFF/ 1	pp*1.50 + cluster_9vdosc*1.50
EFF/ 2	pp*1.00 + cluster_9vdosc*1.00
EFF/ 3	pp*1.50 + cluster_9vdosc*1.50 + vent_cote_9vdosc*1.70
EFF/ 4	pp*1.50 + cluster_9vdosc*1.50 + vent_arriere_9vdosc*1.70
EFF/ 5	pp*1.50 + cluster_9vdosc*1.50 + vent_face_9vdosc*1.70
EFF/ 6	pp*1.00 + cluster_9vdosc*1.00 + vent_cote_9vdosc*1.70
EFF/ 7	pp*1.00 + cluster_9vdosc*1.00 + vent_arriere_9vdosc*1.70
EFF/ 8	pp*1.00 + cluster_9vdosc*1.00 + vent_face_9vdosc*1.70
DEP/ 1	pp*1.00 + cluster_9vdosc*1.00
DEP/ 2	pp*1.00 + cluster_9vdosc*1.00 + vent_cote_9vdosc*1.00
DEP/ 3	pp*1.00 + cluster_9vdosc*1.00 + vent_arriere_9vdosc*1.00
DEP/ 4	pp*1.00 + cluster_9vdosc*1.00 + vent_face_9vdosc*1.00

### Combinaisons de cas

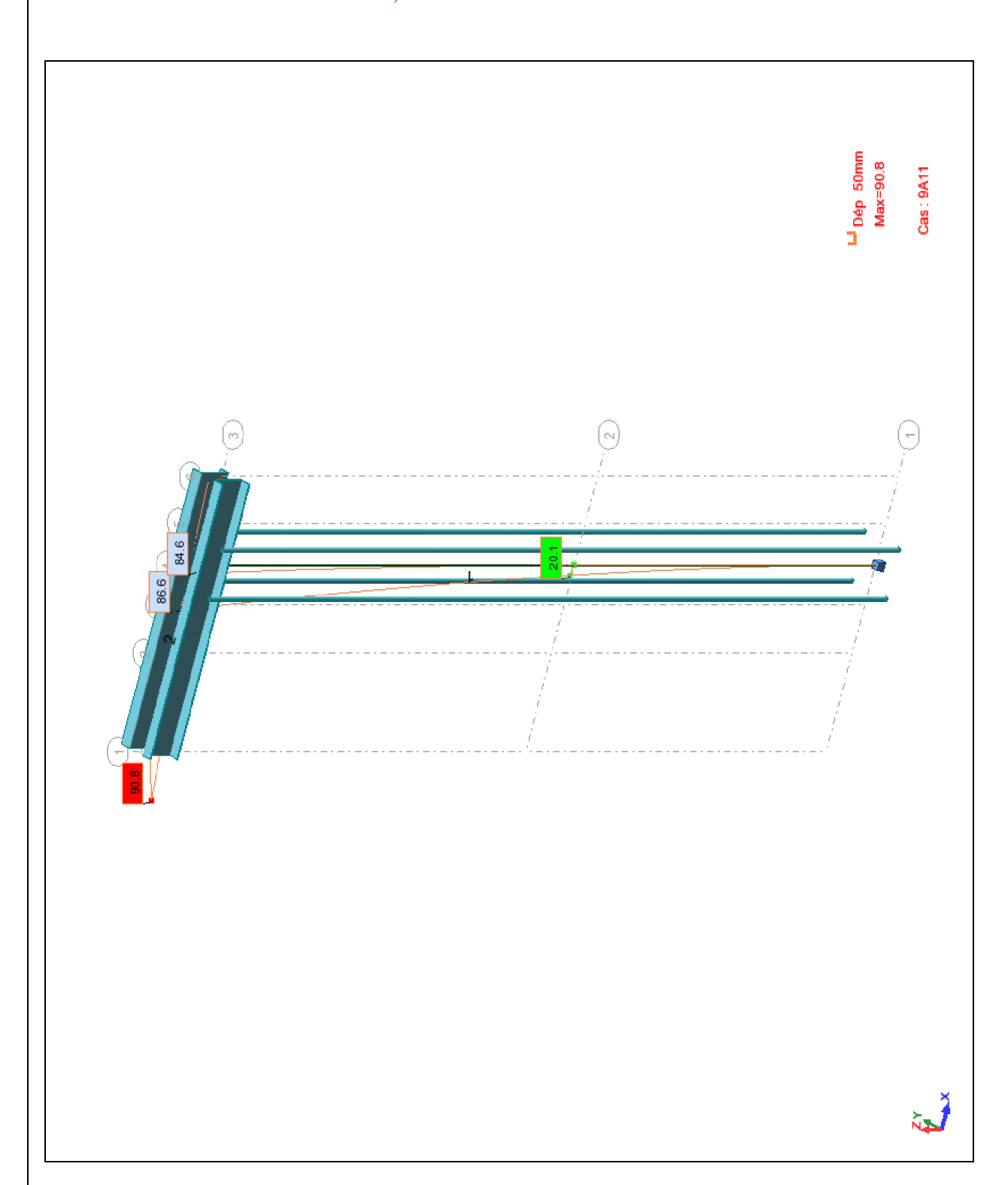
Combinaison	Définition
12 (C)	(pp+cluster_9vdosc)*1.00+vent_face_9vdosc*1.70
13 (C)	(pp+cluster_9vdosc)*1.50+vent_arriere_9vdosc*1.70
14 (C)	(pp+cluster_9vdosc)*1.50+vent_cote_9vdosc*1.70

Autodesk Robot Structural Analysis Professional Auteur : **CEDIA/S.C** Adresse : 08090 TOURNES

Calculs: CEDIA, 08090 TOURNES

Fichier : **01311-NC1/A**Projet : Tour son Magnum

### Fleche ELS - Déformée exacte; Cas: 9A11



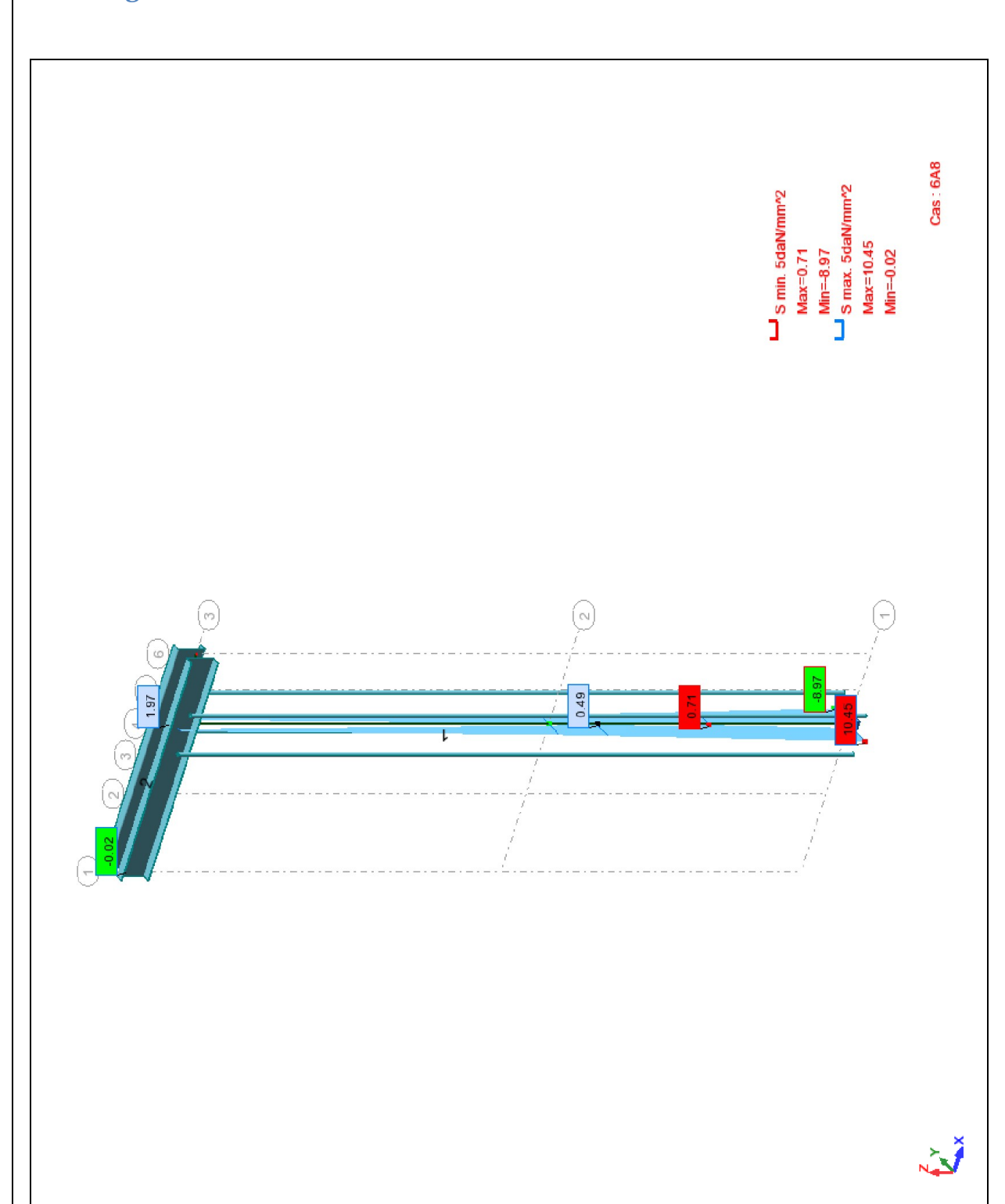
Autodesk Robot Structural Analysis Professional Auteur: **CEDIA/S.C** 

Adresse: 08090 TOURNES

Calculs: CEDIA, 08090 TOURNES

Fichier : **01311-NC1/A**Projet : Tour son Magnum

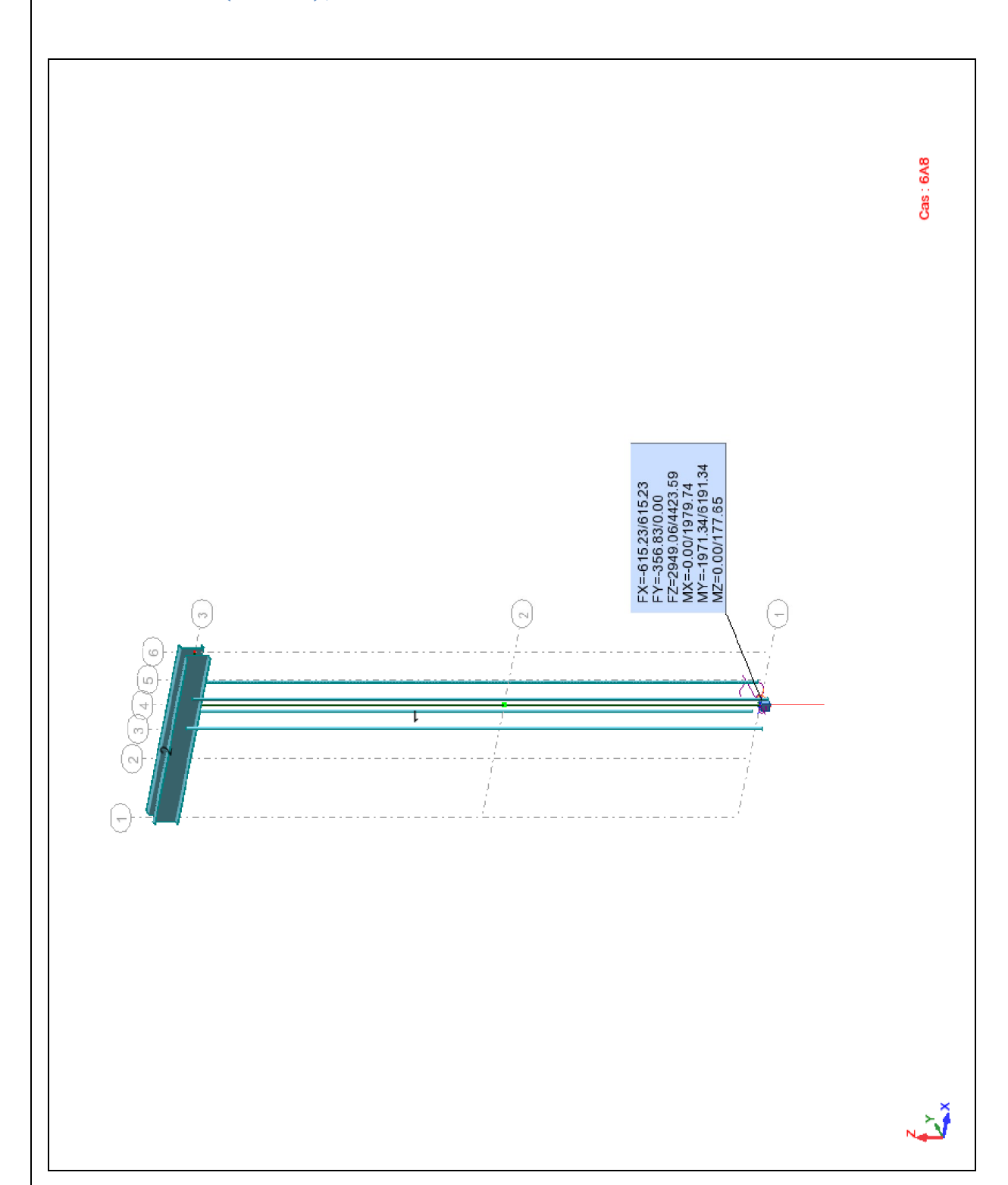
Sigma ELU - S max; S min; Cas: 6A8



Auteur : **CEDIA/S.C** Adresse : 08090 TOURNES Calculs: CEDIA, 08090 TOURNES

Fichier : **01311-NC1/A**Projet : Tour son Magnum

## Réactions globales aux ELU - Forces de réaction(daN); Moments de réaction(daN\*m); Cas : 6A8



Auteur: CEDIA/S.C Adresse: 08090 TOURNES Calculs: CEDIA, 08090 TOURNES

Fichier : **01311-NC1/A**Projet : Tour son Magnum

# Résumé des Réactions extrêmes dans le Repère global - Format DDC - Cas: 7 8 12A14: 1 aux ELU

Enveloppes extrêmes

Noeud/Cas	Nom du cas	FX [daN]	FY [daN]	FZ [daN]	MX [daNm]	MY [daNm]	MZ [daNm]
2/ EFF+	EFF+	-615.23	-0.00	-4423.59	-1979.74	-6191.34	-177.65
2/ EFF-	EFF-	615.23	356.83	-2949.06	0.00	1971.34	-0.00
2/ 12 (C)	EFF/8=1*1.00 + 2*1.00 + 5*1.70	615.23	-0.00	<mark>-2949.06</mark>	0.00	<mark>1971.34</mark>	-0.00
2/ 13 (C)	EFF/4=1*1.50 + 2*1.50 + 4*1.70	-615.23	-0.00	<del>-4423.59</del>	0.00	<mark>-6191.34</mark>	-0.00
2/ 14 (C)	EFF/3=1*1.50 + 2*1.50 + 3*1.70	-0.00	356.83	<del>-4423.59</del>	<mark>-1979.74</mark>	-2532.00	-177.65

La stabilité au glissement de la dalle suivant FX ou FY laisse apparaître dans la combinaison 12 la plus défavorable un coefficient maxi de glissement au sol devant être supérieur à  $\frac{FX \max ou FY \max}{FZ \min} = \frac{615}{2949}$  soit un coefficient de sol mini de tg $\rho \ge$ 0.21.

Le moment fléchissant max de 6191daNm reste inférieur au moment acceptable des poutres SC500 (My/Mz max de 7470daNm)

### Contrôle de la stabilité de l'embase

1) La combinaison 12, résume les réactions du cas suivant :

**12 (C)** (pp+cluster\_9vdosc)\*1.00+vent\_face\_9vdosc\*1.70

Ce cas sera retenu pour le contrôle de la stabilité arrière de l'embase béton

L'effort de soulèvement du au couple de basculement de la tour de MY :1972daNm est de :

 $Fs1 = \frac{MY}{R} = \frac{1972}{1m} = 1972 daN = Fs1 \le FZ1 = 2949 daN$  (descente de charge verticale au centre de la dalle béton)

Donc il n'y a pas de risque de basculement dans ce cas

Autodesk Robot Structural Analysis Professional Calculs: C

Auteur: CEDIA/S.C Adresse: 08090 TOURNES Calculs: CEDIA, 08090 TOURNES

Fichier : **01311-NC1/A**Projet : Tour son Magnum

### 2) La combinaison 13, résume les réactions du cas suivant :

13 (C)

(pp+cluster\_9vdosc)\*1.50+vent\_arriere\_9vdosc\*1.70

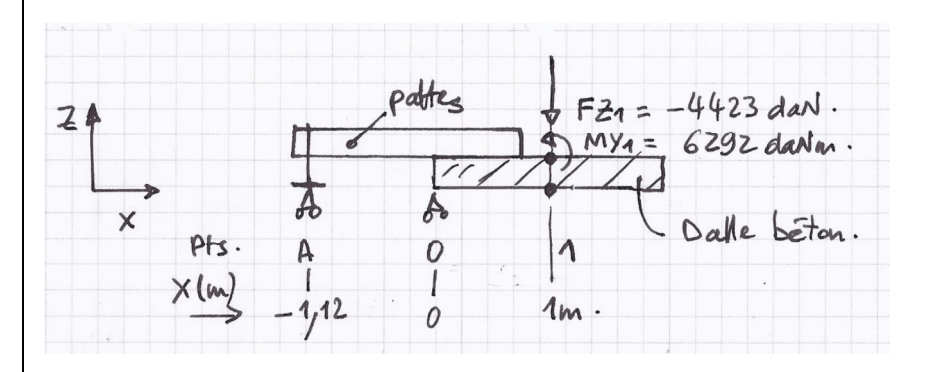
Ce cas sera retenu pour le contrôle de la stabilité avant de l'embase béton ainsi que pour le dimensionnement des pattes avant.

L'effort de soulèvement du au couple de basculement de la tour de MY :6292daNm est de :

$$Fs2 = \frac{MY}{R} = \frac{6292}{1m} = 6292 daN = Fs2 \gg FZ2 = 4423 daN$$
 (descente de charge verticale au centre de la dalle béton)

Donc il y a risque de basculement de l'embase dans ce cas, il conviendra donc d'ajouter, des pattes de stabilisation pour ce cas précis.

### Dimensionnement des pattes de stabilisation



FZA=FMYA+FZ1A avec FMYA= $+\frac{6292}{112}$ =5617daN et FZ1A=FZ1x $\frac{1}{112}$ =-3949daN

Donc FZA=5617-3949= 1670daN pour deux pattes soit 835 daN par extrémité de pattes

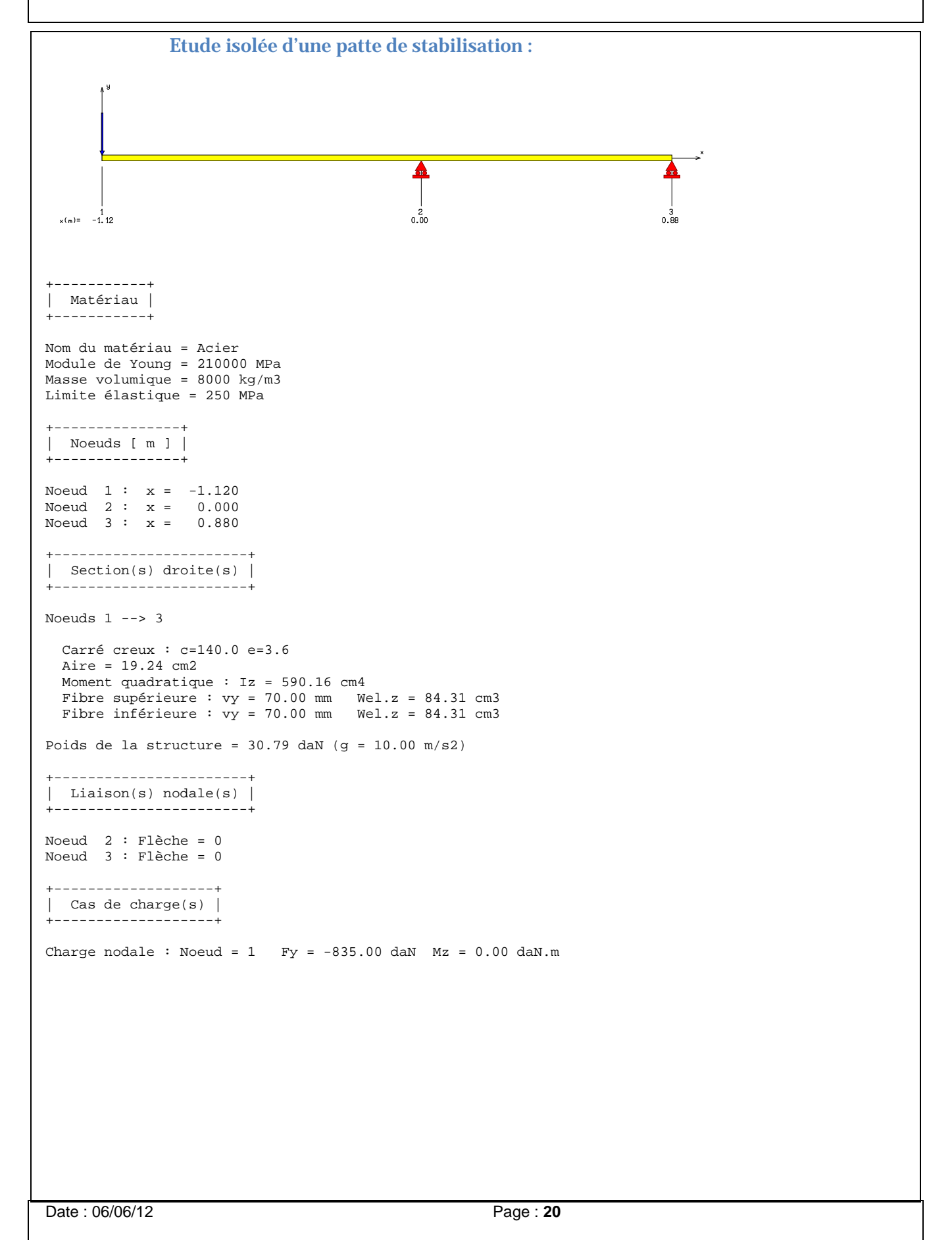
Cette valeur servira à la suite des calculs pour l'étude isolée d'une patte de stabilisation

FZ0=FMY0+FZ1O avec FMY0= $\frac{6292}{1.12}$ =-5617daN et FZ10=FZ1+FZA=-3949-4423=8372daN

Donc FZ0=-5617+8372=2755 daN réparti le long de l'arête de la dalle béton

Auteur: CEDIA/S.C Adresse: 08090 TOURNES Calculs: CEDIA, 08090 TOURNES

Fichier : **01311-NC1/A**Projet : Tour son Magnum



Auteur: CEDIA/S.C Adresse: 08090 TOURNES Fichier: 01311-NC1/A Projet: Tour son Magnum

```
| Résultats |
+-----
\mid Déplacements nodaux [ m , ° ] \mid
+----
Noeud Flèche
               Pente
 Dy maximal = 3.74866E-04 \text{ m} \text{ à x} = 0.371 \text{ m}
Dy minimal = -5.63432E-03 m à x = -1.120 m
| Efforts intérieurs [ daN daN.m daN/mm2 ] |
÷-----
Noeud
        Ty
                  Mfz
                             Sxx
 1 835.00 0.00
2 835.00 -935.20
                  0.00 0.00
-935.20 -11.09
 2 -1062.73 -935.20 -11.09
      -1062.73
                   -0.00
                              -0.00
Moment flechissant maximal = 0.00 daN.m à -1.120 m
Moment flechissant minimal = -935.20 daN.m à 0.000 m
Contrainte normale maximale = 11.09 daN/mm2 à 0.000 m
Contrainte normale minimale = -11.09 daN/mm2 à 0.000 m
| Action(s) de liaison [ daN daN.m ] |
Noeud 2 Fy = 1897.73
Noeud 3 Fy = -1062.73
| Informations sur le calcul |
Pivot minimal = 1.10655110062500E+0006
Donc :
```

La patte en section 140x140x4 est correctement dimensionnée pour résister aux efforts et génère une contrainte normale de 11daN/mm2 pour 23.5daN/mm2 admissible aux ELU

La réaction au nœud 2 sera de 1897daN qui devra être supporté à la traction par le lot des 2 premières chevilles de fixation du fourreau en bords de dalle béton.

Le fourreau de 150x150x3 lui, possédant une plus grosse inertie que la patte (625cm4 contre 590cm4), son étude de résistance intrinsèque est incluse dans celle de la patte

Auteur: CEDIA/S.C Adresse: 08090 TOURNES Fichier: 01311-NC1/A Projet: Tour son Magnum

3)	La combinaison	14	, résume les	réactions	du cas	suivant:
----	----------------	----	--------------	-----------	--------	----------

14 (C)

(pp+cluster\_9vdosc)\*1.50+vent\_cote\_9vdosc\*1.70

Ce cas sera retenu pour le contrôle de la stabilité latérale de l'embase béton

L'effort de soulèvement du au couple de basculement de la tour de MX :1980daNm est de :

 $Fs3 = \frac{MX}{R} = \frac{1980}{1m} = 1980 daN = Fs3 \le FZ3 = 4423 daN$  (descente de charge verticale au centre de la dalle béton)

Le MY étant plus petit que dans le cas précèdent, il sera donc inclus dans l'étude 2)

Donc il n'y a pas de risque de basculement dans ce cas

Auteur : CEDIA/S.C Fichier : 01311-NC1/A
Adresse : 08090 TOURNES Projet : Tour son Magnum

### Cas E2

### **Pondérations**

# Pondérations suivant le règlement : AL 76 Avril 2000

### Paramètres de la création des pondérations

Type de pondérations : complètes

### Liste de cas actifs :

1: pp	permanente	G1
2: cluster_e2	permanente	G1
3: vent_cote_e2	vent	W1
4: vent_arriere_e2	vent	W1
5: vent_face_e2	vent	W1

### Liste de modèles de combinaison :

EFF normale (1 charge variable)
EFF normale (2 charges variables)
EFF normale (3 charges variables)

DEP Déplacement

### Liste de groupes définis :

permanente: G1 et, vent: W1 ou excl.,

### Liste de relations définies :

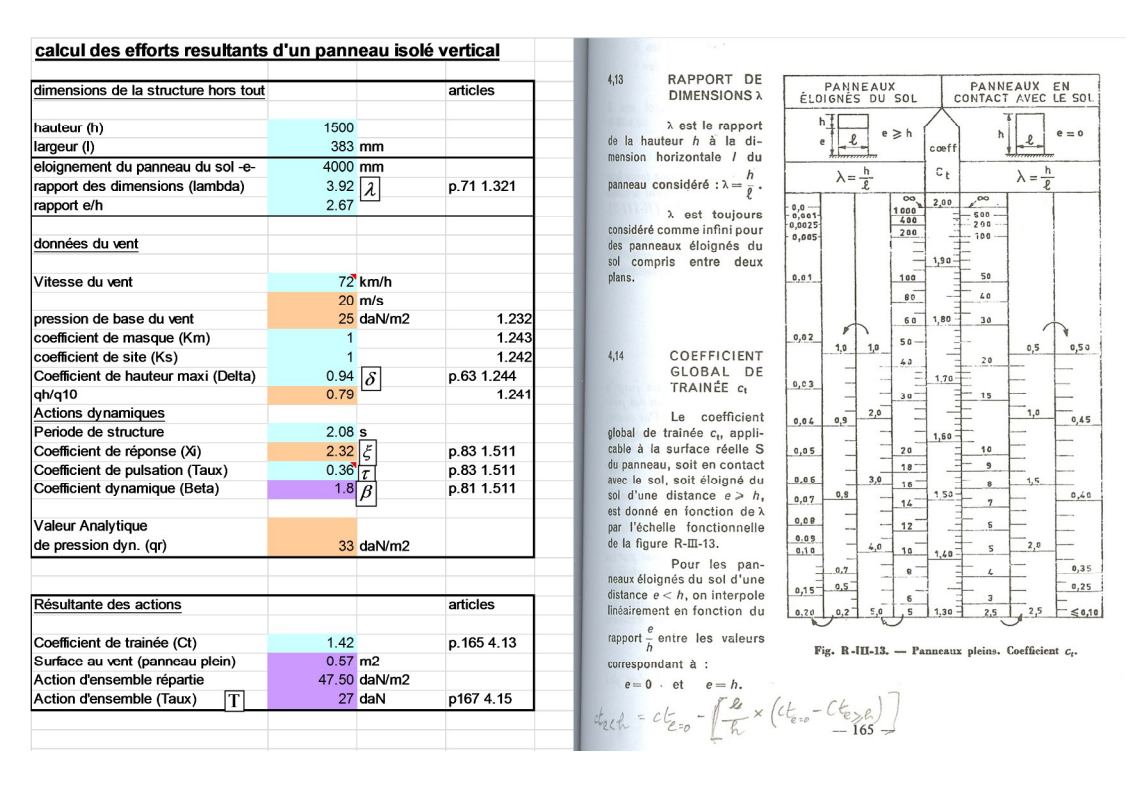
permanente: G1 d'exploitation: Q1 vent: W1

Auteur: CEDIA/S.C Adresse: 08090 TOURNES Calculs: CEDIA, 08090 TOURNES

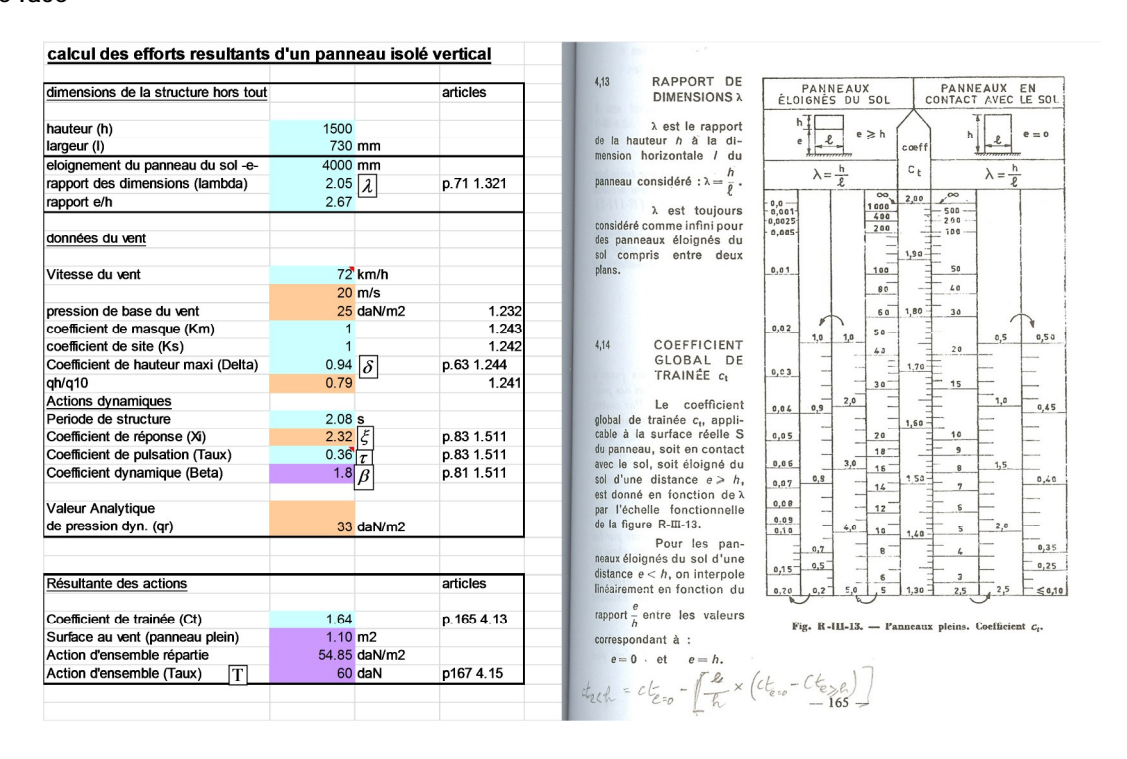
Fichier : **01311-NC1/A**Projet : Tour son Magnum

### Résultantes du vent

#### Vent de coté



### Vent de face



Auteur: **CEDIA/S.C** Adresse: 08090 TOURNES Calculs: CEDIA, 08090 TOURNES

Fichier : **01311-NC1/A**Projet : Tour son Magnum

# **Charges résultantes**

Cas	Préfixe	Type de charge	Liste	Valeurs de la charge	Remarques utilisateur
1	рр	poids propre	1	PZ Moins Coef=2.40	sc500 18.6kg/ml
1	рр	force nodale	2	FZ=-1565.00[daN]	embase beton
1	рр	force nodale	8	FZ=-180.00[daN]	pp_tete de tour
2	cluster_9vdosc	force nodale	6	FZ=-91.00[daN]	6 KARA
2	cluster_9vdosc	force nodale	3	FZ=-65.00[daN]	6 KARA
3	vent_cote_9vdosc	force nodale	37	FY=15.00[daN]	6 KARA
3	vent_cote_9vdosc	charge uniforme	1	PY=11.10[daN/m]	vent sur tour
4	vent_arriere_9vdosc	force nodale	37	FX=-30.00[daN]	6 KARA
4	vent_arriere_9vdosc	charge uniforme	1	PX=-11.10[daN/m]	vent sur tour
5	vent_face_9vdosc	force nodale	37	FX=30.00[daN]	6 KARA
5	vent_face_9vdosc	charge uniforme	1	PX=11.10[daN/m]	vent sur tour

# Définitions des pondérations - Cas: 6 9 [AL 76 Avril 2000] [AL 76 Avril 2000]: 1

Combinaison/Comp.	Définition		
EFF/1	pp*1.50 + cluster_e2*1.50		
EFF/ 2	pp*1.00 + cluster_e2*1.00		
EFF/3	pp*1.50 + cluster_e2*1.50 + vent_cote_e2*1.70		
EFF/ 4	pp*1.50 + cluster_e2*1.50 + vent_arriere_e2*1.70		
EFF/5	pp*1.50 + cluster_e2*1.50 + vent_face_e2*1.70		
EFF/6	pp*1.00 + cluster_e2*1.00 + vent_cote_e2*1.70		
EFF/7	pp*1.00 + cluster_e2*1.00 + vent_arriere_e2*1.70		
EFF/ 8	pp*1.00 + cluster_e2*1.00 + vent_face_e2*1.70		
DEP/ 1	pp*1.00 + cluster_e2*1.00		
DEP/ 2	pp*1.00 + cluster_e2*1.00 + vent_cote_e2*1.00		
DEP/ 3	pp*1.00 + cluster_e2*1.00 + vent_arriere_e2*1.00		
DEP/ 4	pp*1.00 + cluster_e2*1.00 + vent_face_e2*1.00		

### Combinaisons de cas

Combinaison	Définition
12 (C)	(pp+cluster_e2)*1.00+vent_face_e2*1.70
13 (C)	(pp+cluster_e2)*1.50+vent_arriere_e2*1.70
14 (C)	(pp+cluster_e2)*1.50+vent_cote_e2*1.70

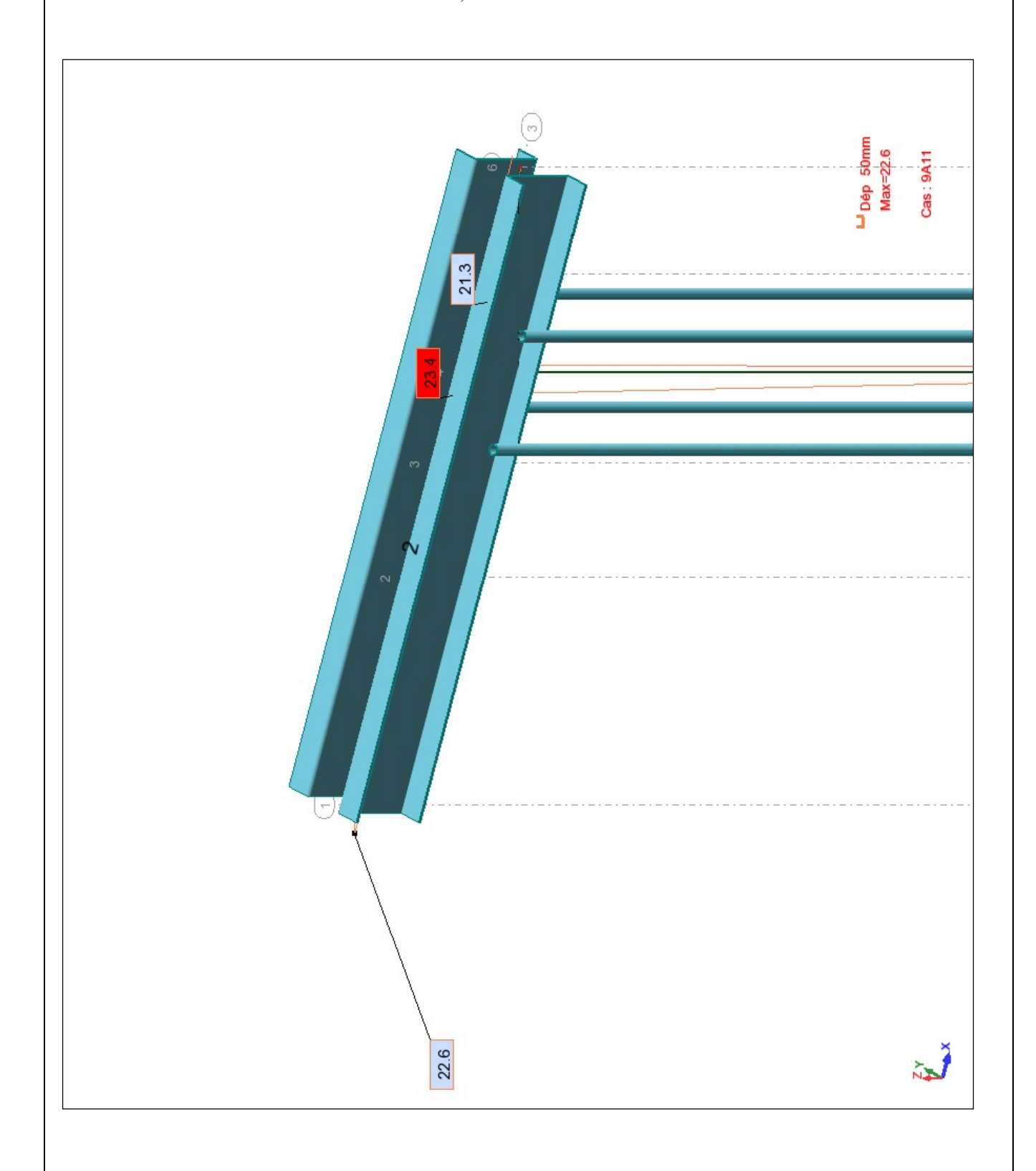
Autodesk Robot Structural Analysis Professional Auteur: **CEDIA/S.C** 

Adresse: 08090 TOURNES

Calculs: CEDIA, 08090 TOURNES

Fichier : **01311-NC1/A**Projet : Tour son Magnum

Fleche ELS - Déformée exacte; Cas: 9A11

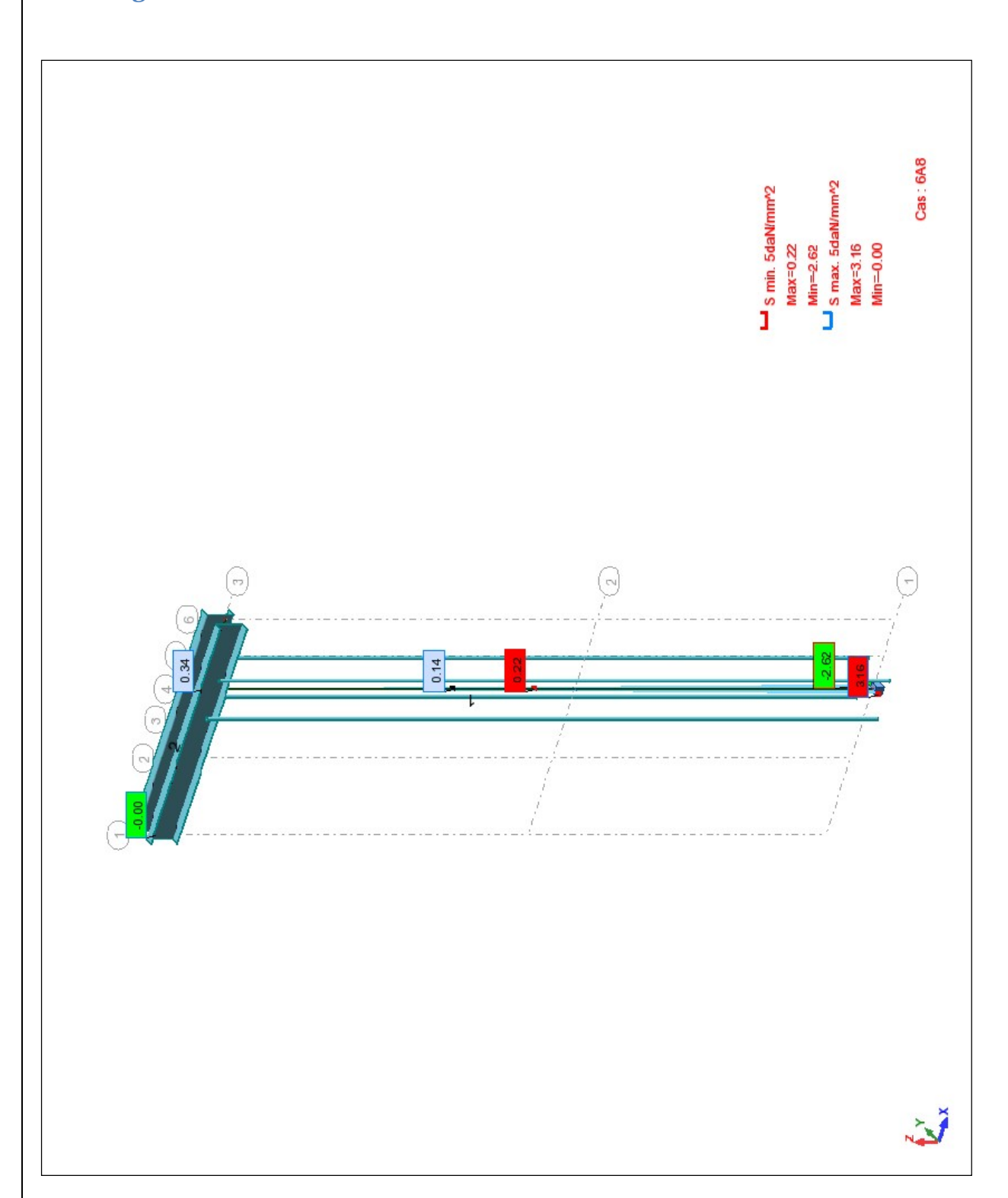


Autodesk Robot Structural Analysis Professional Auteur : **CEDIA/S.C** Adresse : 08090 TOURNES

Calculs: CEDIA, 08090 TOURNES

Fichier : **01311-NC1/A**Projet : Tour son Magnum

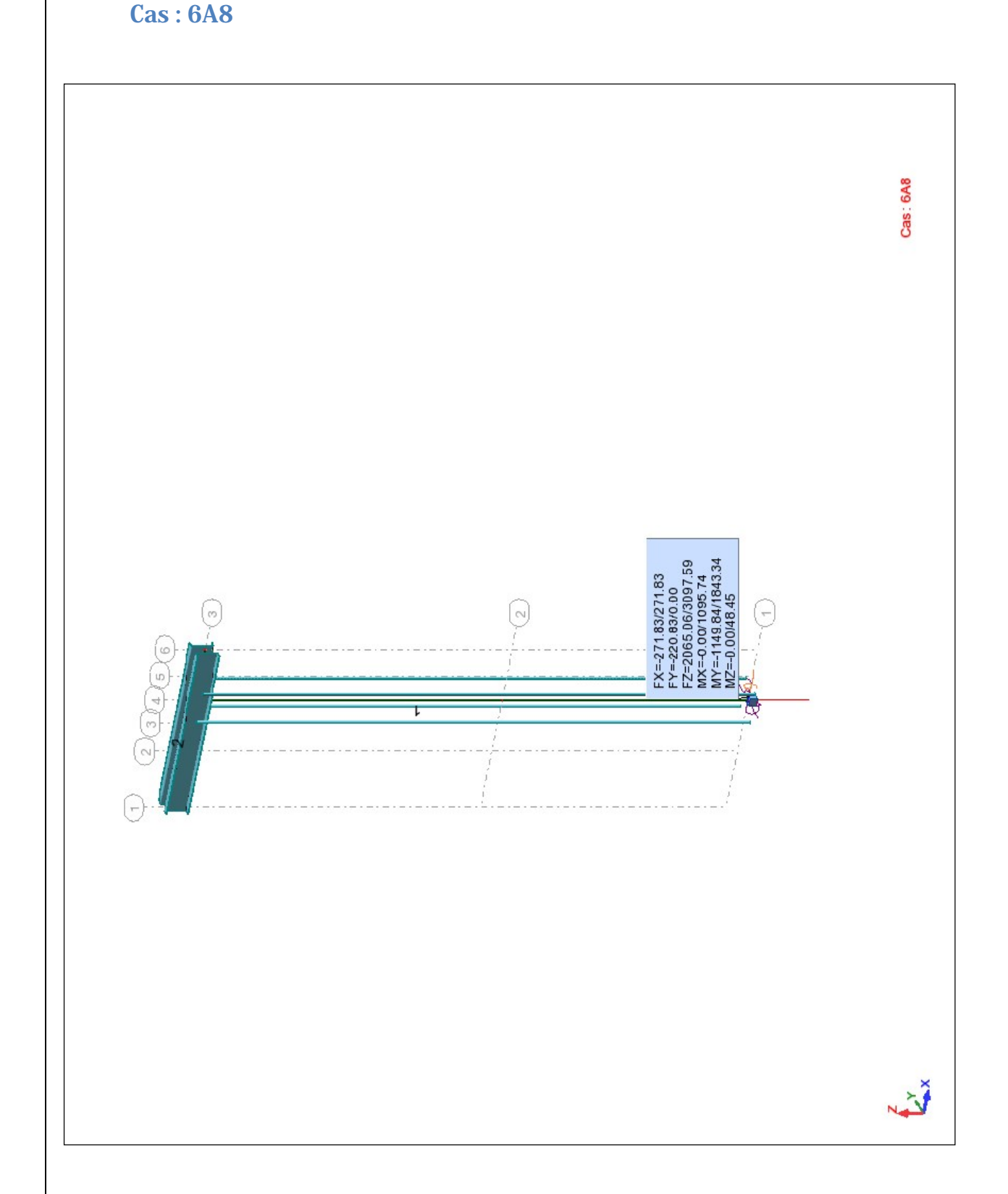
Sigma ELU - S max; S min; Cas: 6A8



Auteur : **CEDIA/S.C** Adresse : 08090 TOURNES Calculs: CEDIA, 08090 TOURNES

Fichier : **01311-NC1/A**Projet : Tour son Magnum

# Réactions aux ELU - Forces de réaction(daN);Moments de réaction(daN\*m);



Auteur: CEDIA/S.C Adresse: 08090 TOURNES Calculs: CEDIA, 08090 TOURNES

Fichier : **01311-NC1/A**Projet : Tour son Magnum

# Résumé des Réactions extrêmes dans le Repère global - Format DDC - Cas: 7 8 12A14: 1

Enveloppes extrêmes

Noeud/Cas	Nom du cas	FX [daN]	FY [daN]	FZ [daN]	MX [daNm]	MY [daNm]	MZ [daNm]
2/ EFF+	EFF+	-271.83	-0.00	-3097.59	-1095.74	-1843.34	-48.45
2/ EFF-	EFF-	271.83	220.83	-2065.06	0.00	1149.84	0.00
2/ 12 (C)	EFF/8=1*1.00 + 2*1.00 + 5*1.70	271.83	0.00	-2065.06	-0.00	<mark>1149.84</mark>	0.00
2/ 13 (C)	EFF/4=1*1.50 + 2*1.50 + 4*1.70	-271.83	-0.00	-3097.59	0.00	<mark>-1843.34</mark>	-0.00
2/ 14 (C)	EFF/3=1*1.50 + 2*1.50 + 3*1.70	-0.00	220.83	-3097.59	<mark>-1095.74</mark>	-416.10	-48.45

La stabilité au glissement de la dalle suivant FX ou FY laisse apparaître dans la combinaison 12 la plus défavorable un coefficient maxi de glissement au sol devant être supérieur à  $\frac{FX \max ou FY \max}{FZ \min} = \frac{272}{2065}$  soit un coefficient de sol mini de tg $\rho \ge 0.13$ .

Le moment fléchissant max de 3098daNm reste inférieur au moment acceptable des poutres SC500 (My/Mz max de 7470daNm)

### Contrôle de la stabilité de l'embase

1) <u>La combinaison 12, résume les réactions du cas suivant :</u>

**12 (C)** (pp+cluster\_e2)\*1.00+vent\_face\_e2\*1.70

Ce cas sera retenu pour le contrôle de la stabilité arrière de l'embase béton

L'effort de soulèvement du au couple de basculement de la tour de MY :1150daNm est de :

 $Fs1 = \frac{MY}{R} = \frac{1150}{1m} = 1150 daN = Fs1 \le FZ1 = 2065 daN$  (descente de charge verticale au centre de la dalle béton)

Donc il n'y a pas de risque de basculement dans ce cas

Auteur: CEDIA/S.C Adresse: 08090 TOURNES Fichier : **01311-NC1/A**Projet : Tour son Magnum

### 2) La combinaison 13, résume les réactions du cas suivant :

13 (C)

(pp+cluster\_e2)\*1.50+vent\_arriere\_e2\*1.70

Ce cas sera retenu pour le contrôle de la stabilité avant de l'embase béton ainsi que pour le dimensionnement des pattes avant.

L'effort de soulèvement du au couple de basculement de la tour de MY :1843daNm est de :

 $Fs2 = \frac{MY}{R} = \frac{1843}{1m} = 1843 daN = Fs2 \le FZ2 = 4423 daN$  (descente de charge verticale au centre de la dalle béton)

Donc il n'y a pas de risque de basculement dans ce cas

3) La combinaison 14, résume les réactions du cas suivant :

14 (C)

(pp+cluster\_e2)\*1.50+vent\_cote\_e2\*1.70

Ce cas sera retenu pour le contrôle de la stabilité latérale de l'embase béton

L'effort de soulèvement du au couple de basculement de la tour de MX :1096daNm est de :

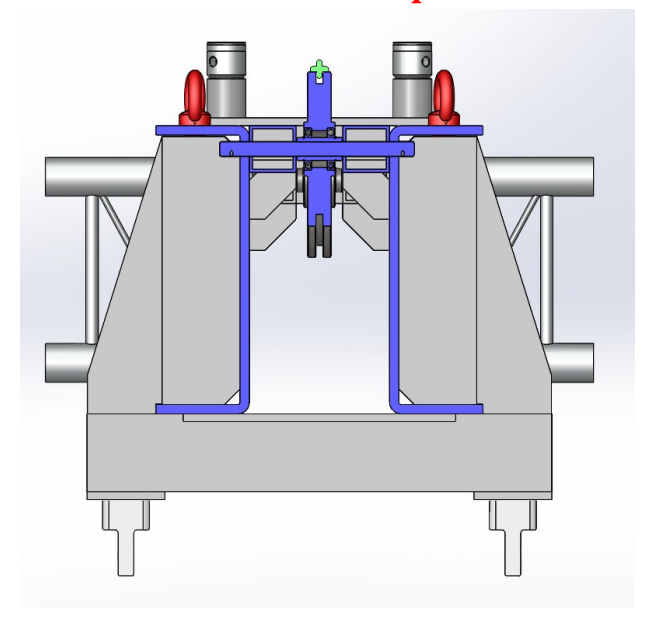
 $Fs3 = \frac{MX}{R} = \frac{1096}{1m} = 1096 daN = Fs3 \le FZ3 = 4423 daN$  (descente de charge verticale au centre de la dalle béton)

Le MY étant plus petit que dans le cas précèdent, il sera donc inclus dans l'étude 2)

Donc il n'y a pas de risque de basculement dans ce cas

Auteur: CEDIA/S.C Adresse: 08090 TOURNES Fichier: **01311-NC1/A**Projet: Tour son Magnum

# Contrôle du dimensionnement de l'axe des poulies



Charge maxi utile considérée symétrique de P=680/sin45°≈1000daN, pondération de charge=1.5 , action repartie le long de l'entretoise diam30 de 1000x1.5/60=25daN/mml

Axe cisaillée diam 20 en matière Stub, section de cisaillement par appui As=314mm2

Auteur : CEDIA/S.C Adresse : 08090 TOURNES Fichier: 01311-NC1/A
Projet: Tour son Magnum

```
Section(s) droite(s)
+----+
Noeuds 1 --> 4
 Rond plein : D = 20.00 \text{ (mm)}
 Aire = 3.14 cm<sup>2</sup>
 Moment quadratique : Iz = 0.79 cm4
 Fibre supérieure : vy = 10.00 mm Wel.z = 0.79 cm3
 Fibre inférieure : vy = 10.00 mm Wel.z = 0.79 cm3
Poids de la structure = 0.44 daN (g = 10.00 m/s2)
+----+
Liaison(s) nodale(s)
+----+
Noeud 1 : Flèche = 0
Noeud 2 : Flèche = 0
Noeud 3 : Flèche = 0
Noeud 4: Flèche = 0
+----+
Cas de charge(s)
+----+
Charge linéairement répartie : Noeuds = 2 -> 3 pyo = -25.00 pye = -25.00 daN/mm
+----+
Résultats
+----+
+----+
Déplacements nodaux [ mm , ° ]
+----+
Noeud Flèche Pente
 1 0.000000 0.015632
 2 0.000000 -0.031265
 3 0.000000 0.031265
    0.000000 -0.015632
 4
   -0.013301
             0.000000
Dy maximal = 6.30088E-03 mm à x = 34.586 mm
Dy minimal = -1.33008E-02 mm à x = 90.000 mm
```

Auteur: CEDIA/S.C Adresse: 08090 TOURNES Calculs: CEDIA, 08090 TOURNES

Fichier : **01311-NC1/A**Projet : Tour son Magnum

```
+-----+
| Efforts intérieurs [ daN daN.mm daN/mm2 ] |
```

Ty = Effort tranchant Mfz = Moment fléchissant Sxx = Contrainte normale

Noeud	Ty	Mfz	Sxx	
1	75.00	-0.00	-0.00	
2	75.00	-4500.00	-5.73	
2	-750.00	-4500.00	-5.73	
5	-0.00	6750.00	8.59	
5	0.00	6750.00	8.59	
3	750.00	-4500.00	-5.73	
3	-75.00	-4500.00	-5.73	
4	-75.00	0.00	0.00	

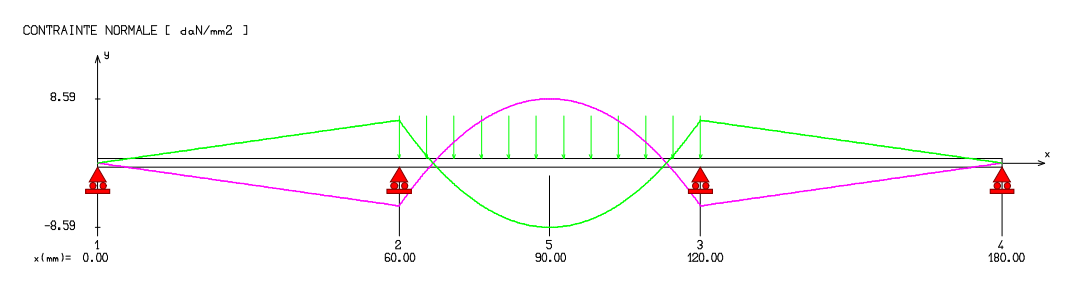
Moment flechissant maximal = 6750.00 daN.mm à 90.000 mm Moment flechissant minimal = -4500.00 daN.mm à 60.000 mm

Contrainte normale maximale = 8.59 daN/mm2 à 90.000 mm Contrainte normale minimale = -8.59 daN/mm2 à 90.000 mm

Noeud 1 Fy = -75.00Noeud 2 Fy = 825.00Noeud 3 Fy = 825.00Noeud 4 Fy = -75.00

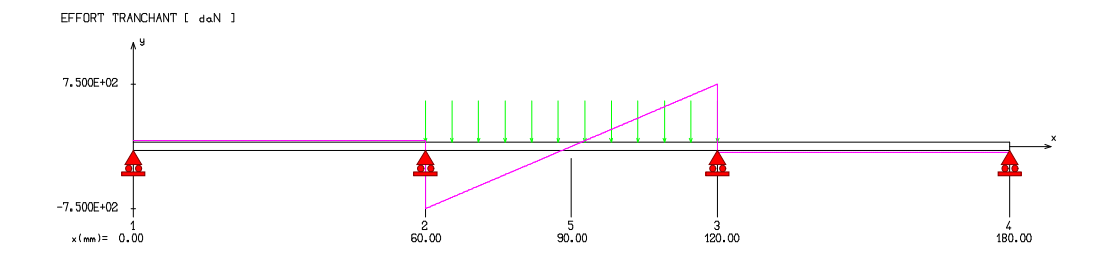
Auteur : CEDIA/S.C Fichier : 01311-NC1/A
Adresse : 08090 TOURNES Projet : Tour son Magnum

Contrôle de la contrainte normale à mf max :



### 8.6daN/mm2 < 23.5 daN/mm2 aux ELU; correct

- è Résistance au Mf correcte.
- Contrôle de la contrainte de cisaillement de l'axe ø20



### Ty2=750daN

Résistance au cisaillement =1.54  $\frac{Ty2}{As} \le \vartheta red\ stub$  = 75%Re=0.75x73=54daN/mm2

Soit 
$$1.54\frac{750}{314} = 3.7 \le 54 daN/mm2$$

- è Résistance au cisaillement correcte.
- Contrôle de la pression diamétrale de l'axe ø20 sur le tube de 60x4

$$\frac{T}{de} \le 2\sigma e \text{ soit } \frac{750}{20x4} = 9.4 daN/mm2 \le 2x16 = 32 daN/mm2$$
; correct

Auteur: **CEDIA/S.C** Adresse: 08090 TOURNES Fichier : **01311-NC1/A**Projet : Tour son Magnum

### **Conclusion:**

Au vu du respect des hypothèses de calculs, la tour est correctement dimensionnée pour un vent de 72 km/h et englobe tous les cas de charges repris dans le chapitre « Résumé des cas de charges possibles »

 Le client devra s'assurer de dimensionner les fixations de l'embase de acier sur la plaque béton en considérant le moment maxi aux elu admissible par la structure SC500, cad 7470daNm ce qui engendre un effort maxi de traction/compression de <sup>7470</sup>/<sub>0.497\*2</sub>=7515daN au droit de chaque membrures.

L'entraxe de fixation est de 170x170mm pour un lot de 4 chevilles M10.

2) Le client devra s'assurer de dimensionner les fixations des pattes de fourreau sur la plaque béton. l'effort maxi (voir chapitre « Etude isolée d'une patte de stabilisation ». la valeur de l'effort à la traction le plus défavorable est de 1897daN aux ELU, exercé sur la semelle la plus proche de la dalle.

L'entraxe de fixation est de 200mm pour un lot de 2 chevilles M10.

3) Le client devra arrimer la partie basse des clusters au linéaire de tour à une hauteur de 4m/sol

L'installation des 2 pattes avant de stabilisation n'est pas nécessaire pour le cas E2 6 KARA, mais au vu des multitudes de cas possibles et pour des raisons de convivialité pour l'installation, nous précisons l'installation systématique des 2 pattes de stabilisation pour l'ensemble des cas.

Le chapitre « Résumé des cas de charges possibles » reste la référence d'envellope de cas possible acceptable par la tour.

Tout autre cas de charge fera l'objet d'une nouvelle étude.

Auteur: CEDIA/S.C Adresse: 08090 TOURNES Calculs: CEDIA, 08090 TOURNES

Fichier: 01311-NC1/A Projet: Tour son Magnum

